

การแยกให้บริสุทธิ์และการศึกษาคุณสมบัติของกลูต้าไธโอน เอส-ทรานส์

เฟอเรสในยุงกันปล่อง *Anopheles dirus* B

Purification and characterization of glutathione S-transferases from the  
mosquito *Anopheles dirus* species B

ได้รับทุนวิจัยงบประมาณประจำปี 2539

มหาวิทยาลัยเชียงใหม่

ผู้เขียนรายงานการวิจัย

ละเอียด ประพันธ์ครา

สุรางจิตต์ คุตตะเทพ

นงคราญ ลำจวน (พรหมเทพ)

## กิติกรรมประกาศ

งานวิจัยนี้ได้รับทุนอุดหนุนการวิจัยจากงบประมาณประจำปี 2539

มหาวิทยาลัยเชียงใหม่

## บทคัดย่อ

### การแยกให้บริสุทธิ์และการศึกษาคุณสมบัติของกลูต้าไธโอน เอส-ทรานส์เฟอเรส ในยุงกันปล่อง *Anopheles dirus* B

วิธีการแยกสกัดกลูต้าไธโอน เอส-ทรานส์เฟอเรสจากยุงกันปล่อง *Anopheles gambiae* ได้ถูกนำมาปรับปรุงและใช้สำหรับยุง *An.dirus* พบว่ามี GST อยู่ 5 isoenzymes ที่แยกได้จาก *An.dirus* ได้แก่ GST-4a GST-4b GST-4c GST-5 และ GST-6 isoenzyme 3 ชนิด แรกจัดอยู่ใน Class I ของ GST ในเมล็ด ส่วน 2 ชนิดหลังเป็น Class II อัตราส่วนของ CDNБ conjugating activity ของแต่ละ Isoenzyme คิดเป็นร้อยละ 19.6 1.3 1.2 1.55 และ 2.3 ตามลำดับ ได้ทำการศึกษาคุณสมบัติทางเคมีศาสตร์ ความจำเพาะต่อสปัลส์เตრท์ การมีปฏิกิริยา กับตัวยับยั้ง และสารเคมีจำพวกเมล็ดชนิดต่าง ๆ พบว่า Isoenzyme ทุกตัวสามารถใช้ CDNБ เป็นสปัลส์เตอร์ท์ได้เป็นอย่างดี ในขณะที่กับสปัลส์เตอร์ท์ตัวอื่น ๆ ไม่ค่อยดีนัก Isoenzyme ทุกตัวยกเว้น GST-5 สามารถเร่งปฏิกิริยา DDT-dehydrochlorination ได้ในระดับต่าง ๆ กัน โดยรวมแล้ว GST isoenzyme ที่แยกได้จาก *An.dirus* จะมีคุณสมบัติทางการเร่งปฏิกิริยาแตกต่างจาก *An.gambiae* เช่น GST-4a GST-4b GST-4c จาก *An.dirus* สามารถเร่ง DDT-dehydrochlorination ได้ในขณะที่ enzyme เหล่านี้ที่สกัดได้จาก *An.gambiae* ไม่สามารถเร่งปฏิกิริยานิดนี้ได้ GST-6 ใน *An.dirus* มี DDT ase activity สูงที่สุดในขณะที่ใน *An.gambiae* GST-5 เป็น Isoenzyme ที่มี DDT ase activity สูงสุด ผลการศึกษาปฏิกิริยาต่อสารเคมีจำพวกเมล็ดพบว่า GST ใน *An.dirus* สามารถมีปฏิกิริยา กับสารเคมีจำพวกเมล็ดได้ดีมาก ในการศึกษาครั้งก่อนหน้านี้ใน *An.dirus* ได้มีการแยก GST-4a ให้บริสุทธิ์ และนำไปศึกษาคุณสมบัติ (Prapanthadara et. al. Characterization of the major form of glutathione S-transferase in the mosquito *An. dirus*. Insect Biochem. Molec. Biol. 1996, 26: 277-285) ส่วนในการศึกษาครั้งนี้ได้ทำการสกัด GST-4c ให้บริสุทธิ์ Isoenzyme นี้ มีค่า V 23.2 umole/min/mg ค่า Km CDNБ 0.08 mM และ Km GSH 0.18 mM จากการศึกษา 150 พบร้า GST-4c มีคุณสมบัติเป็น heterozygous ซึ่งอาจจะประกอบด้วยหน่วยอยู่สองหน่วยที่ไม่เหมือนกัน

## ABSTRACT

### Purification and characterization of glutathione S-transferases from the mosquito *Anopheles dirus* species B

The method for isolation of glutathione S-transferase (GST) isoenzymes from *Anopheles gambiae* was slightly modified and employed for the Thai mosquito, *An. dirus* B. There were 5 isoenzymes fractionated, GST-4a, GST-4b, GST-4c, GST-5 and GST-6. The first three isoenzymes belong to insect class I GST and the last two are class II. The percent constitution of each isoenzyme to the total measured CDNB conjugating activity in this species are 19.6, 1.3, 1.2, 1.55 and 2.3 for GST-4a, GST-4b, GST-4c, GST-5 and GST-6 respectively. All these isoenzymes were partially characterized with substrates, inhibitors and various insecticides. All the isoenzymes prefer CDNB as the electrophilic substrates with very low or no detectable activity with other GST general substrates. All the isoenzymes except GST-5 can metabolize DDT to different extents. The *An. dirus* isoenzymes act differently from the correspondent isoenzymes purified from *An. gambiae*. Class I GSTs, GST-4a, GST-4b and GST-4c from the *An. dirus* catalysed DDT-dehydrochlorination whereas *An. gambiae* isoenzymes did not. The majority of DDTase activity in *An. dirus* present in GST-6 instead of in GST-5 as reported for the *An. gambiae*. Inhibition study of *An. dirus* GSTs demonstrates a strongly interaction with various insecticides. GST-4a had been earlier purified and characterized (Prapanthadara *et al.* *Insect Biochem. Mol. Biol.* 26: 3, 277-285, 1996). In this paper the second GST isoenzyme of anopheline species, GST-4c, is biochemically purified to homogeneity according to SDS-PAGE. The maximum velocity (V),  $K_m$ GSH and  $K_m$ CDNB are 23.2  $\mu$ mole/min/mg, 0.18 mM and 0.08 mM respectively. Simple  $I_{50}$  study of the GST-4c suggests the heterozygous properties of the isoenzyme. It is probably composed of the two distinct subunits.

## สารบัญเรื่อง (Table of contents)

เนื้อเรื่อง	หน้า
กิตติกรรมประกาศ	2
บทคัดย่อ	3
สารบัญเรื่อง	5
สารบัญตาราง	7
สารบัญภาพ	8
คำอธิบายสัญลักษณ์และคำย่อที่ใช้ในการวิจัย	9
1. บทนำ	10
วัตถุประสงค์ในการศึกษา	11
2. วัสดุและอุปกรณ์การทดลอง	11
2.1 ยุบันปล่อง	11
2.2 สารเคมี	11
2.2.1 สารเคมีที่เป็นสปสเตรทหรือตัวยับยั้ง	11
2.2.2 สารเคมีที่ใช้ทำ column chromatography	12
2.2.3 สารเคมีสำหรับ Electrophoresis	12
2.2.4 สารเคมีที่ใช้เตรียมบัฟเฟอร์	13
2.2.5 สารเคมีที่เป็นยาจากเมล็ด	13
2.2.6 สารเคมีสำหรับ HPLC ซื้อจาก Sigma	13
2.3 เครื่องมือและอุปกรณ์	14
2.3.1 เครื่องมือทำ Column chromatography	14
2.3.2 เครื่องอ่าน microtitre plate	14
2.3.3 Refrigerated benchtop centrifuge Beckman	14
2.3.4 micropipet ชนิดต่างๆ	14
3. วิธีการทดลอง	14
3.1 การแยกสกัดโปรตีนให้บริสุทธิ์	14
3.1.1 การเตรียมสารละลายอึนไชม์หยาบ (crude extract)	14
3.1.2 Q-Sepharose chromatography	15
3.1.3 Affinity chromatography	15

เนื้อเรื่อง	หน้า
3.1.4 Hydroxylapatite chromatography	16
3.1.5 Hydrophobic chromatography	16
3.2 การจัดเก็บตื้นไชเม็กายหลังการแยกให้บริสุทธิ์	17
3.3 การวัด GST activity	17
3.4 การวัดความเข้มข้นของโปรตีน	18
3.5 การศึกษาคุณสมบัติของเอ็นไชเม็กาย	18
3.5.1 การศึกษาการมีคุณสมบัติ DDT-dehydrochlorinase	18
3.5.2 การศึกษาค่า specific activity ต่อสัปประเทรอชนิดต่าง ๆ	19
3.5.3 การศึกษาคุณสมบัติทางเอนไซม์ค่าสตอร์	20
3.5.4 การศึกษาคุณสมบัติการยับยั้ง activity โดยสารยับยั้งชนิดต่าง ๆ	20
3.5.5 การศึกษาค่า $I_{50}$	21
3.5.6 การศึกษาคุณสมบัติการมีปฏิกิริยา กับสารเคมีฟ่ายเมลลงชนิดต่าง ๆ	21
4. ผลการทดลอง	21
4.1 การแยกสกัดโปรตีนให้บริสุทธิ์	21
4.3 การศึกษาค่า specific activity ต่อสัปประเทรอชนิดอื่น ๆ	22
4.4 คุณสมบัติทางเอนไซม์ค่าสตอร์	23
4.5 คุณสมบัติการถูกยับยั้งโดยสารยับยั้งชนิดต่าง ๆ	23
4.6 การศึกษาค่า $I_{50}$	23
4.7 การศึกษาคุณสมบัติการมีปฏิกิริยาเคมี กับสารฟ่ายเมลลงชนิดต่าง ๆ	24
6. สรุปและวิเคราะห์ผลการทดลอง	24
เอกสารข้างต้น	26

## สารบัญตาราง(List of tables)

เนื้อเรื่อง	หน้า
ตารางที่ 1 สภาวะที่ใช้ในการตรวจวัด activity ต่อสปสະเตรทชนิดต่าง ๆ	28
ตารางที่ 2 สรุปการแยกสกัดเย็นไข่มงคลูตาไธโอนเօส-หวานสเฟอเรสจากลูกน้ำ ยุงกันปล่อง <i>Anopheles dirus B</i>	29
ตารางที่ 3 สรุปค่า DDT-dehydrochlorinase activity ของเย็นไข่มงคลูตาไธโอน เօส-หวานสเฟอเรสจากลูกน้ำยุงกันปล่อง <i>Anopheles dirus B</i>	30
ตารางที่ 4 ผลการศึกษาค่าคงที่ทางจนศาสตร์ของเย็นไข่ม์ GST-4a, GST-4b และ GST-4c โดยใช้ GSH และ CDNB เป็นสปสະเตรท	31
ตารางที่ 5 เปอร์เซนต์การถูกยับยั้งของ GST CDNB conjugating activity โดยสปสະเตรทชนิดอื่นๆ	32
ตารางที่ 6 ผลการศึกษาเปอร์เซนต์การถูกยับยั้งของ GST CDNB conjugating activity โดยสารฆ่าแมลงชนิดต่างๆ	33

## สารบัญภาพ (List of illustrations)

เนื้อเรื่อง	หน้า
รูปที่ 1 แผนภูมิขั้นตอนการแยกสกัด GST จากลูกน้ำระยะที่ 4 ของยุงกันปล่อง <i>An.dirus B</i>	24
รูปที่ 2 กราฟแสดงการแยก GST ให้บริสุทธิ์จากลูกน้ำระยะที่ 4 ของยุงกันปล่อง <i>An.dirus B</i> โดยวิธี column chromatography	25
รูปที่ 3 SDS-PAGE ของ GST ชนิดต่าง ๆ ที่สกัดได้	26
รูปที่ 4 IC50 plot ของการยับยั้ง activity ของ GST-4c โดยตัวยับยั้ง 3 ชนิด คือ ethacynic acid Bromosulphophthalein และ Cibacron Blue 3 GA	27

## คำอธิบายสัญลักษณ์และคำย่อที่ใช้ในการวิจัย (List of Abbreviations)

ACN	=	Acetonitrile
AUFS	=	Absorbance Unit Full Scale
BSA	=	Bovine Serum Albumin
CDNB	=	1-Chloro-2,4-dinitrobenzene
DDD	=	6,6-Dithiodi-2-naphthol
DDE	=	1,1-Dichloro-2,2-bi-[p-Chlorophenyl]ethane
DDT	=	1,1,1-Trichloro-2,2-bi-[p-chlorophenyl]ethane
DDTase	=	DDT-dehydrochlorinase
GSH	=	Glutathione
GST	=	Glutathione S-transferase
mM	=	milli molar
ml	=	millilitre
NaCl	=	Sodium chloride
SDS	=	Sodium dodecyl sulphate
μl	=	microlitre
HPLC	=	Hyperformance Liquid Chromatography

## 1. บทนำ

มาลาเรียเป็นโรคร้ายที่คล่าซึ่วิตผู้คนที่อยู่อาศัยแบบชนบทในเขตต้อนขึ้นอยู่เป็นอันมาก มาตราการควบคุมการแพร่ระบาดของโรคนี้ที่ได้ผลมากที่สุดในปัจจุบัน คือ การควบคุมประชากร ยุงพะโดยใช้ยาฆ่าแมลง ในประเทศไทย ปัจจุบันแม้ว่าจะสามารถลดความรุนแรงของการเกิด โรคมาลาเรีย ลงได้แล้วในหลายพื้นที่ แต่มาลาเรียก็ยังคงเป็นปัญหาสาธารณสุขที่สำคัญอยู่ โดยเฉพาะบริเวณท้องที่ห่างไกลท้องที่ป่าเขาและบริเวณชายแดนไทย-ลาว, กัมพูชา และพม่า ดังนั้นใน ปัจจุบันนี้จึงยังมีความจำเป็นในการใช้สารเคมีดีตีที่ ในการควบคุมยุงพะของโรคมาลาเรียอยู่ใน หลายพื้นที่

ปัจจุบันนี้ในประเทศไทย ๆ รอบ ๆ ประเทศไทย เช่น พม่า, อินเดีย, และศรีลังกา และ ประเทศในแถบอฟริกา ต้องประสบความลำบากเหลวในการควบคุมการแพร่ระบาดของโรคมาลาเรีย เนื่องจากยุงกันปล่องพะได้พัฒนาขึ้นมาด้วยต่อยาฆ่าแมลงต่าง ๆ ที่ใช้อยู่ซึ่งได้แก่ยาฆ่าพอก DDT, HCH, dieleldrin และ malathion การจัดการกับปัญหาการต้อยาในหมู่ประชากรยุงยังไม่ ประสบความสำเร็จ เนื่องจากยังขาดแคลนความรู้ทางวิชาการ และสาเหตุของการต้อยานั้น ๆ ปัจจุบันนี้มียาฆ่าแมลงชนิดใหม่ ๆ ผลิตออกมากซึ่งมีแนวโน้มจะใช้ได้ผลดีในเรื่องกำจัดและควบ คุมประชากรยุงพะ แต่อย่างไรก็ตามยาฆ่าแมลงชนิดใหม่ ๆ เหล่านี้มีราคาอยู่ในระดับแพง และ ผลข้างเคียงต่อมนุษย์และสัตว์เลี้ยงก็ยังต้องได้รับการตรวจสอบต่อไปอีกด้วย

กลูต้าไธโอน เอส-ทรานส์เฟอร์เรส (Glutathione S-transferase, GSTs) เป็นกลุ่มของเอนไซม์ที่ทำหน้าที่ช่วยเร่งขบวนการทำลายสารพิษในสิ่งมีชีวิตต่าง ๆ ขบวนการดังกล่าวนี้คือการที่ Glutathione (GSH) ไปจับกับสารพิษที่มีคุณสมบัติเป็น electrophile ด้วยปฏิกิริยาที่เรียกว่า “conjugation” ทำให้ได้สารประกอบใหม่ที่ลดความรุนแรงลงไปและยังละลายน้ำได้ดีขึ้น พร้อมที่ จะถูกกำจัดออกไป (1) สาเหตุที่นักวิจัยมีความสนใจศึกษาถึง GSTs ในแมลงนั้น เนื่องมาจากเอมไซม์นี้หน้าที่สำคัญที่เกี่ยวข้องกับการต้อยาฆ่าแมลงต่าง ๆ เช่น organochlorine และ organophosphorus มีรายงานจากการศึกษาเบื้องต้นถึงการต้อยาในแมลงวันตามบ้าน พบร่วงได้ ตัวอย่าง activity ที่เพิ่มขึ้นของ GST ในสารละลายไปตีนที่ได้จากการบดแมลงวันในบัฟเฟอร์ (2, 3,4) ลักษณะการเกิดขึ้นของ GSTs ในสิ่งมีชีวิตนั้น เอ็มไซม์นี้เป็นภายนอกที่เรียกว่า isoenzyme ซึ่งแต่ละ isoenzyme นั้น จะมีคุณสมบัติเฉพาะที่แตกต่างกันออกไป ตามชนิดของยา ฆ่าแมลงที่ทดสอบ เช่น การเร่งการทำลาย DDT นั้น GST เร่งขบวนการ dehydrochlorination ทำให้ DDT กลายตัวเป็น DDE (5) ปฏิกิริยานี้เกิดขึ้นในภาวะที่มี GSH แม้ว่าจะไม่เกิดขบวน การ GSH conjugation ได้มีรายงานว่าขบวนการ dehydrochlorination นี้ เป็นกลไกที่สำคัญ

สำหรับการตื้อยา DDT ในยุงกันปล่อง (6, 7) ส่วนกรณีสารประกอบ organophosphorus นั้น GST เร่งขบวนการ GSH conjugation (8, 9)

งานวิจัยที่ผ่านมาเราได้แสดงให้เห็นว่า ในยุงกันปล่อง *An.gambiae* มี GST ปรากฏอยู่เป็นหลาย isoenzyme ซึ่งแต่ละ isoenzyme นั้นมีระดับของ DDT-dehydrochlorinase activity มากน้อยแตกต่างกันออกไป (10) และ GSTs ที่พบในยุงตื้อยา DDT มีระดับ DDT-dehydrochlorinase activity ตูบกว่า GSTs ที่พบในยุงที่ไม่ตื้อยา ในการศึกษาครั้งนั้นเรายังไม่สามารถทำการแยกให้บริสุทธิ์ของ isoenzyme แต่ละชนิดเพื่อนำมาศึกษาคุณสมบัติต่าง ๆ อย่างลึกซึ้งได้ ในการศึกษาที่จะทำต่อไปนี้เราจะจัดตั้งการจะแยก Isoenzyme บริสุทธิ์ มาเพื่อทำการศึกษา และเปรียบเทียบคุณสมบัติกับ GSTs อื่น ๆ ที่ได้ศึกษาไว้แล้วในสิ่งมีชีวิตชนิดอื่นต่อไป

### **วัตถุประสงค์ในการศึกษา**

ต้องการแยก glutathione S-transferase แต่ละ isoenzyme ให้บริสุทธิ์ และนำมาศึกษาคุณสมบัติทางเคมีและ enzyme kinetic รวมทั้งความสามารถในการจับสารเคมีมีอะไรบ้าง

## **2. วัสดุและอุปกรณ์การทดลอง**

### **2.1 ยุงกันปล่อง**

ยุงกันปล่องที่ใช้ในการศึกษาครั้งนี้คือ ยุงกันปล่องชนิด *An.dirus species B* ซึ่งเลี้ยงไว้ในห้องเลี้ยงแมลง ภาควิชาปรสิตวิทยา คณะแพทย์ศาสตร์ มหาวิทยาลัยเชียงใหม่ ยุงสายพันธุ์นี้เป็นสายพันธุ์เดียวที่มีตัวอ่อนที่ใช้ในการศึกษาในครั้งก่อน (11) ซึ่งทำการแยกสกัด GST-4a ให้บริสุทธิ์ และศึกษาคุณสมบัติทางเคมี ตัวอย่างยุงกันปล่องที่ใช้ศึกษานี้เป็นลูกน้ำร้อยละ 4 ซึ่งจะถูกนำมาแช่แข็งทันที (Snap frozen) โดยใช้ในตอรเจนเหลวแล้วแช่เก็บไว้ ณ อุณหภูมิ  $-70^{\circ}\text{C}$  จนกว่าจะนำมาทดลอง

### **2.2 สารเคมี**

#### **2.2.1 สารเคมีที่เป็นสัปสเตรทหรือตัวยับยั้ง**

สารเคมีจาก Sigma Chemical Co. (St. Louis, MO)

Reduced glutathion

S-hexylglutathione

1-Chloro-2, 4-dinitrobenzene

Ethacrynic acid

Bromosulfophthalein

Cumenehydroperoxide  
4-nitropyridine-N-oxide  
1,2-Epoxy-3-(*p*-nitrophenoxy)propane  
Nicotinamide adenine dinucleotide phosphate (reduced form) (NADPH) Glutathione reductase  
Cibacron Blue 3GA

สารเคมีจาก Aldrich Chemical Co. (Milwaukee, WI)  
1,2-dichloro-4-nitrobenzene (DCNB)  
*trans*-4-phenyl-3-buten-2-one  
*p*-Nitrophenethyl bromide

2.2.2 สารเคมีที่ใช้ทำ column chromatography  
จาก Sigma Chemical Co. (St. Louis, MO)  
S-hexylglutathione agarose

จาก Pharmacia LKB (Uppsala, Sweden)  
Q-Sepharose  
Phenyl Sepharose  
จาก Bio-Rad (Richmond, CA)  
Hydroxylapatite  
Protein assay reagent

2.2.3 สารเคมีสำหรับ Electrophoresis ทั้งหมดซื้อจาก Sigma  
Acrylamide  
N,N-methylene-bis-acrylamide  
N,N,N-Tetramethylethylenediamine  
Glycine  
Sodium dodecyl sulphate  
Ammonium persulphate  
Bromophenol Blue

Mercaptoethanol

Protein molecular weight marker ซื้อจาก Bio Rad

2.2.4 สารเคมีที่ใช้เตรียมบัฟเฟอร์ ใช้ reagent grade จาก Sigma หรือ BDH

Sodium hydrogen phosphate

disodium hydrogen phosphate

Trizma base

Hydrochloric acid

Sodium chloride

Ethylene glycol

Glycerol

2.2.5 สารเคมีที่เป็นยาฆ่าแมลง ซื้อจาก British Greyhound (Birkenhead, Merseyside, U.K.).

p,p-DDT (98.5%)

p,p-DDE (99%)

DDD

Permethrin

Lambda cyhalothrin

Fenitrothion (Sumi)

Deltamethrin

Diazenon

Pirimiphos-methyl

Chlorpyriphos-ethyl

Temephos

bebdiocarb

2.2.6 สารเคมีสำหรับ HPLC ซื้อจาก Sigma

Acetonitrile

Methanol

Chloroform

Isopropanol

### **2.3 เครื่องมือและอุปกรณ์**

#### **2.3.1 เครื่องมือทำ Column chromatography**

Glass Homogenizer และ Teflon pestle ซื้อจาก Wheaton

คอลัมน์ต่าง ๆ ซื้อมาจากบริษัท Amicon

Peristaltic pump, Fraction collector จาก Pharmacia

PD-10 column, concentration units จาก Millipore

Conductivity meter

pH meter

Refrigerated high speed centrifuge จาก Sorvall

#### **2.3.2 เครื่องอ่าน microtitre plate**

Ceres 900 UV900 Hdi (Bio-Tek Instrument Inc.)

NUNC Microtitre plate

#### **2.3.3 Refrigerated benchtop centrifuge Beckman**

#### **2.3.4 micropipet ชนิดต่าง ๆ**

### **3. วิธีการทดลอง**

#### **3.1 การแยกสกัดโปรตีนให้บริสุทธิ์**

##### **3.1.1 การเตรียมสารละลายน้ำ crude extract จากลูกลูกน้ำ**

นำลูกน้ำสูงแข็งที่เก็บไว้ที่อุณหภูมิ -70°C ในบีบีแคน 30 กรัมมาทำให้ละลายผสมกับ buffer A (25 mM Tris-HCl pH 7.4, 10 mM DTT) ทำการบดโดยใช้เครื่อง Homogenizer โดยค่อย ๆ แบ่งครึ่งละน้อย ๆ ทำหลาย ๆ ครั้ง จนลูกลูกน้ำแตกคละเป็นเนื้อเดียวกับ buffer A นำสารละลายน้ำที่ได้ไปบีบีแคนโดยใช้เครื่องบีบีแคน Refrigerated high speed centrifage โดยใช้อัตราการบีบีแคน 10,000 g เป็นเวลา 20 นาทีและตั้งอุณหภูมิเครื่องบีบีแคน 4°C ภายหลังบีบีแคนเทแยกส่วนน้ำ supernatant เก็บไว้ นำไปกรองผ่านกระดาษกรอง Whatman No.1 โดยใช้อุปกรณ์ Swinnex

Disc Filter Holder (Millipore) เพื่อแยกเอาชั้นไขมันออกจาก supernatant เก็บ supernatant ที่ได้ แข็งในกระติกน้ำแข็ง เพื่อทำการทดลองในขั้นตอนไป

### 3.1.2 Q-Sepharose chromatography

Q-Sepharose column ที่ใช้มีขนาด 60 ml (4.4 x 4 cm) เตรียมโดยนำ Q-Sepharose gel มาบรรจุใน glass column โดยใช้อัตราเร็วสารละลาย buffer A ให้ล่อผ่าน column 4 ml ต่อนาที ดำเนินการทดลองในห้องเย็น (Cold room 8°C) ใช้ peristaltic pump เป็นตัวควบคุมอัตราเร็ว การไหลผ่านของ buffer

นำสารละลาย supernatant ที่เตรียมได้มาผ่านลงใน column โดยอาศัย peristaltic pump จนกว่าจะทึบหมด แล้วจึงล้างด้วย buffer A 300 ml (5x bed volume) ในระหว่างนี้ทำการเก็บสารละลายที่ไหลผ่าน column ซึ่งประกอบด้วยโปรตีนชนิดต่าง ๆ ที่ไม่เกาะติดใน column (unbound Fraction) และตั้งชื่อว่า peak 1 หลังจากนั้นทำการชะ (elute) โปรตีนต่าง ๆ รวมทั้ง เอ็นไซม์ GST ออกจาก column โดยใช้ linear gradient 0-0.30 M NaCl ซึ่งเตรียมใน buffer A ปริมาตร 150 ml ในขั้นตอน elute นี้ ทำการเก็บสารละลายที่ไหลออกมาจาก column โดยใช้ Fraction collector ในปริมาตร 4ml/Fraction

ทำการตรวจวัดทั้งความเข้มข้นของโปรตีนและ GST activity ในแต่ละ fraction (ดูวิธีวัดความเข้มข้นโปรตีนและ GST activity ในหัวข้อ 3.3 และ 3.4) นำ fraction ที่มี GST activity มาเทรวมกัน (ดู chromatogram ในหัวข้อผลการทดลอง) ว่า peak 2

### 3.1.3 Affinity chromatography

ใช้ column ขนาด 25 ml (2.2 x 6. แม) บรรจุด้วย S-hexylglutathione agarose ทำการ equilibrate ด้วย buffer A อัตราเร็วการไหลของ buffer 1 ml/min นำ peak 2 มาปั๊มใส่ลงไปใน column จนหมด แล้วล้างโดยการปั๊มสารละลาย buffer A ที่มี NaCl 0.2 M เก็บสารละลายที่ไหลออกจาก column ตรวจสอบจนไม่มีโปรตีนปนอยู่มากจึงหยุด สารละลายโปรตีนที่ไหลผ่าน column ออกมากเทรวมกันเรียกว่า peak 3 (unbound fraction) ทำการชะ (elute) โปรตีนที่เกาะอยู่ใน column ด้วย สารละลาย 5 mM s-hexylglutathione ใน buffer A ที่มี NaCl 0.2 M ปริมาตร 100 ml เก็บสารละลายที่ elute ออกมากเทรวมกันเรียกว่า peak 4

นำทั้ง peak 3 และ peak 4 มาทำให้เข้มข้นโดยใช้ dialysis tube ดูดซับน้ำออกด้วย น้ำตาลซูโคส 1 คืน ณ อุณหภูมิ 8°C ใน cold room

### 3.1.4 Hydroxylapatite chromatography

ใช้ column ขนาด 20 ml (2.2 x 5.3 cm) บรรจุด้วย Hydroxylapatite โดยใช้ buffer B (10 mM Sodium phosphate pH 6.5, 0.2 M NaCl, 10 mM DTT) อัตราไหลของ buffer 1 ml/min

นำสารละลายเข้มข้น peak 3 มาทำการเปลี่ยนถ่าย buffer โดยใช้ buffer B ทำได้โดย equilibrate PD-10 column ด้วย buffer B เทิมสารละลายเข้มข้น peak 3 ครั้งละ 2.5 ml ลงใน PD-10 column รอจนสารละลายไหลลงใน column จนหมดเทิม buffer B 3.5 ml ลงไป และเก็บสารละลายที่ไหลออกมากานทันที และจนหมด ก็จะได้ peak 3 ออยู่ใน buffer B

ทำการละลาย peak 3 นี้ มาผ่านเข้าไปใน hydroxylapatite column ด้วยอัตราไหล 1 ml/min จนหมดแล้ว ล้างด้วย buffer B จนกระทั่งตรวจไม่พบมีโปรตีนใด ๆ ถูกชะออกมา ทำการ elute เอ็นไซม์ GST ออกโดยผ่าน buffer C (10 mM Sodium phosphate pH 6.5, 10 mM DTT) 80 ml และ 200 ml linear gradient 10-200 mM Sodium phosphate buffer pH 6.5 ทำการเก็บ fraction 1 ml นำไปวัดค่าความเข้มข้นโปรตีนและ GST activity ในชั้นตอนนี้ GST activity จาก fraction ต่าง ๆ แบ่งออกได้ 2 peak ตั้งชื่อว่า GST-5 และ GST-6

สารละลายเข้มข้น peak 4 จาก affinity chromatography ก็ได้ถูกนำมาแยกสกัดโดยใช้ Hydroxylapatite chromatography เช่นเดียวกันมีข้อแตกต่างกันอยู่ที่ขนาดของ column ใช้ขนาด 10ml (1.6 x 4 cm) เอ็นไซม์ที่เกาะอยู่ใน column ถูก elute ออกมาโดยใช้ buffer C 40 ml และ 100 ml linear gradient GST activity ที่แยกได้แบ่งออกเป็น 3 peak ตั้งชื่อว่า GST-4a GST-4b และ GST-4c ตามลำดับ

### 3.1.5 Hydrophobic chromatography

chromatography ชนิด hydrophobic นี้ใช้ Phenyl Sepharose เป็นวัสดุในการเตรียม column ขนาดของ column 10 ml (1.6 x 4 cm) buffer ได้แก่ 0.3 M sodium phosphate pH 6.5 ซึ่งมี 2M NaCl เป็นส่วนประกอบเอ็นไซม์ GST ที่จะผ่านการแยกสกัดด้วย column นี้ จะถูกทำให้เข้มข้นขึ้นโดยใช้หลอด Concentration unit (Millipore) และบีบในเครื่อง Refrigerated benchtop centrifuge แล้วทำการเปลี่ยนจาก buffer เดิมเป็น buffer D โดยใช้ PD-10 column ตามวิธีที่กล่าวมาแล้ว ทำการละลายเอ็นไซม์ไปผ่าน column Phenyl Sepharose ที่เตรียมได้ แล้วจะล้างโปรตีนที่ไม่เกาะ (unbound protein) ออกด้วย buffer D จนกระทั่งตรวจวัดไม่พบโปรตีนในสารละลายที่ชะออกมายัง column ทำการ elute เอ็นไซม์ออกเป็นลำดับดังนี้ 1) 30 ml 0.3 M sodium phosphate buffer pH 6.5 2) 60 ml linear gradient 0.3-0.01 M sodium phosphate buffer pH 6.5 3) 40 ml 25m M Tris-HCl buffer pH 7.4 4) 40 ml 25 mM Tris-HCl buffer pH

7.4 และ 30% ethylene glycol. เก็บ fraction ครั้งละ 1 ml นำมาวัดค่าความเข้มข้นโปรตีนและ GST activity

### 3.2 การจัดเก็บเอ็นไซม์ภายหลังการแยกให้บริสุทธิ์

เอ็นไซม์ GST ที่แยกสกัดได้ทุกตัวจะนำมาทำให้เข้มข้นโดยใช้ concentration units (Millipore) และเปลี่ยน่าย buffer จากเดิมมาเป็น 50 mM sodium phosphate buffer pH 7.0 เติม glycerol ลงไปจนได้ 40% โดยให้ความเข้มข้นสุดท้ายของโปรตีนในสารละลายไม่ต่ำกว่า 0.1 mg/ml ทำสารละลายจัดเก็บในตู้แชร์เจ็ง -20°C เพื่อนำไปตีกษากุณสมบัติต่อไป

### 3.3 การวัด GST activity

GST activity โดยทั่วไปวัดโดยใช้ CDNB เป็น electrophilic substrate ความเข้มข้นของ สปีชีส์ต่างๆ ในสารละลายคือ 10 mM GSH 1 mM CDNB

การเตรียม Reagent ก่อนใช้

10.5 mM GSH ใน 0.1 M Sodium phosphate buffer pH 6.5

21 mM CDNB ใน ethanol

ผสมสารละลาย GSH และ CDNB ในอัตราส่วน 1 ml ต่อ 50 μl ทันทีก่อนใช้  
ดูดสารละลาย buffer (50 mM sodium phosphate pH 7.0 10 mM DTT) 10 μl ใส่ใน  
หลุม blank และสารละลาย GST 10 μl ใส่หลุม sample เติมสารละlays สปีชีส์ต่างๆ ให้ 200  
μl นำเข้าเครื่องอ่านทันที

การอ่านค่า GST activity ใช้เครื่อง Ceres 900 ซึ่งมีโปรแกรมคอมพิวเตอร์ชื่อ KCJR สำหรับวัด enzyme kinetic ขั้นที่ความยาวคลื่น 340 nm นาน 2 นาที เป็นจำนวน 12 จุด ณ อุณหภูมิห้อง 26°C ค่าที่วัดออกมามาได้จะเป็นค่า slope ของค่า absorption ต่อนาที (mOD/min)

การคำนวณค่า GST activity คำนวณได้จาก สมการกฎของเบียร์ (Bear's law)

$$OD = \epsilon l c$$

โดยค่า OD คือ การดูดกลืนแสงที่เปลี่ยนแปลงเพิ่มขึ้น

$\epsilon$  คือ ค่า molar extinction coefficient มีค่าเท่ากับ  $9.6 \text{ mM}^{-1} \text{ cm}^{-1}$

$l$  คือ light path มีค่า 0.6 cm

$c$  คือ ความเข้มข้นของ product ที่เพิ่มขึ้น

จากกฎของเบียร์สามารถทำให้ง่ายขึ้นได้ ดังนี้

$$\text{specific activity} = \frac{\text{mOD/min} \times 21}{5.76 \times C}$$

โดยที่ C คือความเข้มข้นโปรตีนในสารละลาย GST ตั้งต้น หน่วยวัดของ specific activity เป็น  $\mu\text{mole}/\text{min}/\text{mg}$

### 3.4 การวัดความเข้มข้นของโปรตีน

เตรียมน้ำยาตรวจวัดโปรตีนโดยการเจือจางน้ำยาเข้มข้น Bio Rad Protein Reagent ด้วยน้ำกําลังในอัตราส่วน 1:4 แล้วกรองด้วยกระดาษกรอง Whatman No.1 น้ำยาเจือจางนี้เก็บไว้ในตู้เย็น 4°C ใช้ได้นานไม่เกิน 1 เดือน เตรียมสารละลายมาตรฐาน BSA 0.1 0.2 0.3 0.4 และ 0.5 mg/ml เพื่อทำ standard curve

วิธีการตรวจวัด ดูดน้ำกําลังหรือ buffer 10 ul ใส่ลงในหลุม blank ดูดสารละลายมาต่อฐานและสารละลายเอ็นไซม์ที่ต้องการวัดอย่างละ 10 ul ลงในหลุมอื่นใน microtitre plate เติมสารละลายเจือจางของน้ำยาตรวจวัดโปรตีน 300 ul ลงในแต่ละหลุม เขย่าให้สมกันดี ทิ้งไว้ 5 นาทีแล้วจึงวัดค่า absorption โดยใช้ program KCJR ในเครื่อง ceres 900 โดยอ่านค่าที่ความยาวคลื่น 595 nm. ภายหลัง program จะคำนวณ standard curve และอ่านค่าความเข้มข้นของสารละลายเอ็นไซม์ออกมารูปหน่วย mg/ml

### 3.5 การศึกษาคุณสมบัติของเอ็นไซม์

#### 3.5.1 การศึกษาการมีคุณสมบัติ DDT-dehydrochlorinase

ในสารละลายที่ทำปฏิกิริยาประกอบด้วยเอ็นไซม์ในสารละลายโซเดียมฟอสเฟต pH 6.5 และ *pp-DDT* 0.05 mM GSH 10 mM ให้ปฏิกิริยาดำเนินไปนาน 2 ชั่วโมง อุณหภูมิ 28°C เมื่อจบปฏิกิริยาจึงเติม dicofool ลงไปให้ได้ปริมาณ 5 nmole (50ul 0.1mM) แล้วจึงสกัดด้วยคลอริโอลฟอร์ม สุบสารละลายปฏิกิริยาประกอบด้วย

950 ul เอ็นไซม์ใน 10 mM GSH และโซเดียมฟอสฟอเรตบัฟเฟอร์

50 ul *pp-DDT* (0.1 mM ใน Ethanol)

50 ul dicofool (0.1 mM ใน Ethanol)

วิธีการสกัด เติมคลอโรฟอร์ม 1.5 ml ลงในสารละลายน้ำยา ฯ โดยใช้เครื่อง เขย่า IKA-VIBRAX-VXA (JANKE&KUNKEL) นาน 5 นาที นำมาปั่นโดยเครื่อง bench top centrifuge 2000 rpm 10 นาที ดูดชั้นของคลอโรฟอร์ม (ชั้นล่าง) เก็บไว้ ทำการสกัดซ้ำจนครบ 3 ครั้ง เทชั้นคลอโรฟอร์มรวมกันลงในหลอดทดลอง (ใช้หลอดแก้ว) ตั้งทิ้งไว้ที่อุณหภูมิห้องในตู้คัวน จนคลอโรฟอร์มระเหยไปหมด (1 คืน) จึงนำสารตัวอย่างเก็บไว้  $-20^{\circ}\text{C}$  จนกว่าจะทำการวิเคราะห์

การเตรียมสารตัวอย่างมาตรฐาน ประกอบด้วย

50 ul *pp-DDT* 0.1 mM

25 ul *pp-DDE* 0.2 mM

50 ul dicofol 0.1 mM

ทุกอย่างเตรียมใน Ethanal ดูดสารละลายน้ำยาลงในหลอดแก้วรวมกันทิ้งไว้ให้ Ethanol ระเหยไปหมดจึงนำมาใช้ในการวิเคราะห์โดยใช้ระบบ HPLC นำสารที่สกัดได้มาละลายใน isopropanol 100 ul และตัวทำละลาย mobilephase 100 ul (mobilephase ประกอบด้วย methanol : acetonitrile : น้ำ ในอัตราส่วน 72.5 : 12.5 : 15 โดยปริมาตร) ระบบ HPLC ประกอบด้วย Waters Model 510 HPLC mp

Waters 490 Programmable Multi Wavelength detector

Waters Data Module 745 integrator

นำสารละลายน้ำอย่างที่เตรียมไว้ 20 ul ฉีดเข้าไปใน Waters Radial-PAK cartridge column ชนิด 8 NVC 18 (4 micron) และ Guard-PAK precolumn โดยใช้ Rheodyne model 7215 manual injector และ 20 ul loop อัตราการไหลของ mobilephase 0.8 ml/min โดยตัวความไวของตัววัดที่ 0.5 AUFS และความยาวคลื่น 236 nm peak ที่ได้ถูกคำนวณโดยใช้ Data module 745 integrator เทียบกับ internal standard ตั้งที่เตรียม (dicofol) ปริมาณของ DDE ที่เกิดขึ้นคิดเป็น nmole/mg protein คำนวณได้โดยเปรียบกับ standard (*pp-DDT* และ *pp-DDE*) ที่เตรียมไว้ก่อน

### 3.5.2 การศึกษาค่า specific activity ต่อสปัสสะเตรอชนิดต่าง ๆ

วิธีการหาค่า specific activity ต่อสปัสสะเตรอชนิดต่าง ๆ ให้วิธีของ Habig et al.(12) โดยใช้ความเข้มข้นของสปัสสะเตรอดังตารางข้างล่าง การเตรียม stock solution เตรียม GSH ความเข้มข้น 1.05 เท่า และ electrophilic substrate 21 เท่า ของที่ระบุไว้ในตาราง เมื่อจะวัดปฏิกิริยา นำสารละลายน้ำ GSH ผสมกับ electrophilic substrate ในอัตราส่วน 1 ml ต่อ 50 ul แล้วจึงใช้ Blank ของปฏิกิริยาคือใช้ buffer 20 ul ผสมกับสารละลายน้ำ GSH ที่ผสมแล้ว 400 ul เพื่อตั้งค่า ศูนย์ในเครื่อง และจึงนำเอ็นไซม์ 20 ul ผสมสารละลายน้ำ GSH 400 ul นำไปอ่านค่า โดยใช้

เครื่อง spectrophotometer และโปรแกรม kinetic คำสั่งคำนวณได้ตามกฎของเบียร์และคำสั่ง Molar extinction coefficient ตามตารางที่ 1

การวัด activity โดยมี cumee hydroperoxide เป็นสีปะเพราที่วิธีของ Wendel (1981) โดยเตรียมสารละลายต่าง ๆ ดังนี้

25 mM Potassium phosphate buffer pH 7.6

160 Units/mg หรือ 1.3 mg/ml glutathione reductase (GR) (from yeast)

5.9 mM GSH เตรียมในปั๊ฟเฟอร์

5.5 mM NAPPH เตรียมในบีฟเพอร์

52.5 mM cumene hydroperoxide

การเติร์นมาสร้างรายผสมของสับะเติร์วท่อนใบ้ทันที เติร์ยมในอัตราส่วนคือ

GSH 850  $\mu$ l

NADPH 50  $\mu$

GR 5 II

Cumene hydroperoxide 50  $\mu$ l

การเริ่มปฏิกริยา เติมสารละลายน้ำยาผสมสเปซเชตทร์ 200  $\mu$ l ลงในสารละลายนีโชเมร์ 10  $\mu$ l ในหลุมของ microtitre plate อ่านค่า OD ที่ 340 nm นาน 10 นาที ใช้บัพเพอร์แทนนีโชเมร์ในการทำ blank

### 3.5.3 การศึกษาคณสมบัติทางจลน์ศาสตร์

การศึกษานี้ใช้ CDNB เป็น electrophilic substrate โดยการวัดค่า activity ของเอนไซม์ ดังกล่าวไว้ใน ข้อ 3.5 แต่มีการวัดที่ความเข้มข้นของทั้ง GSH และ CDNB ต่าง ๆ กัน นำค่า specific activity ที่คำนวณได้ในแต่ละความเข้มข้นมาคำนวณหาค่าคงที่ทางเอนไซม์คือ Km และ V ตามหลักการของ 2-substrate enzyme kinetics ดังกล่าวไว้ในหนังสือของ (14)

3.5.4 การศึกษาคุณสมบัติการยับยั้ง activity โดยสารยับยั้งชนิดต่าง ๆ

วิธีการศึกษาทำโดยการใช้การวัด activity ตามข้อ 3.3 แต่มีการเติมสารบัญลงไป เพื่อเปรียบเทียบกับ control สาระภาษาต่าง ๆ ที่ใช้มีดังนี้

10.5 mM GSH

42 mM CDNB

42 x mM ตัวยับยั้งชนิดต่าง ๆ

ด้วยยังยังที่ใช้ในการทดสอบเป็นสารที่รับว่าเป็น electrophilic substrate ทั่ว ๆ ของ GST เช่นกัน แต่เนื่องจากสารเหล่านี้ตามรายงานก่อน ๆ มา (11, 13) พบว่ามักจะไม่เกิด conjugation

โดย GST จากยุง การทดลองครั้งนี้จึงต้องการศึกษาว่าแม่ัวปฎิกิริยา conjugation จะไม่เกิดแต่ interaction อื่น ๆ มีหรือไม่ ด้วยบันยังเหล่านี้เป็นชนิดและความเข้มข้นเดียวกับที่แสดงไว้ในตารางที่ 1

วิธีการทำ assay ทำ control คือ การวัด activity ปกติควบคู่ไปกับการทำ test ที่มี inhibitor การเตรียมสารละลายผสมสับปะรดทั้งแบบ control และแบบ test ทำดังนี้

control GSH 1 ml CDBN 25 ul Ethanol 25 ul

test GSH 1 ml CDBN 25 ul ตัวบันยัง 25 ul

มีการทำ blank ในแต่ละ assay ในทุก ๆ กรณี

### 3.5.5 การศึกษาค่า I<sub>50</sub>

ค่า I<sub>50</sub> คือค่าความเข้มข้นของตัวบันยังที่สามารถยับยั้ง activity ของเอนไซม์ได้ 50% พอดี โดยที่หากทำการ plot graph % activity กับ log [I] จะได้ Sigmoid curve และค่า I<sub>50</sub> คำนวนได้จากกราฟนี้โดยจุดที่ [I] = I<sub>50</sub> จะอยู่ตรงจุดกึ่งกลางของ Sigmoid curve ที่มีค่า slope เป็นค่าลบตัวเลขสูงสุดไม่เกิน 0.58 (1)

วิธีการทดลองใช้ตัวบันยังที่ต้องการทดสอบ 3 ชนิดคือ cibacron blue3GA Bromosulfophalein และ ethacrynic acid โดยทำการวัดค่า activity ของเอนไซม์เปรียบเทียบกับ control และการใส่ตัวบันยังที่ความเข้มข้นต่าง ๆ ให้ได้ % activity ตั้งแต่ 0-100% เมื่อเทียบกับ control นำค่าที่ได้มา plot graph ระหว่าง % activity กับ log[I] และคำนวนค่า I<sub>50</sub> โดยใช้โปรแกรม Graph Pad PRISM Version 2.01

### 3.5.6 การศึกษาคุณสมบัติการมีปฏิกิริยากับสารเคมีฆ่าแมลงชนิดต่าง ๆ

วิธีการทดลองทำเหมือนข้อ 3.5.4 โดยความเข้มข้นสุดท้ายของสารฆ่าแมลงในปฏิกิริยามีค่า 0.1 mM ทั้งหมดยกเว้น malathion และ diazinon มีค่า 1.0 mM

## 4. ผลการทดลอง

### 4.1 การแยกสกัดโปรตีนให้บริสุทธิ์

แผนภูมิแสดงขั้นตอนการแยกสกัด GST ให้บริสุทธิ์ แสดงไว้ในรูปที่ 1 กราฟแสดงการแยก GST จากโปรตีนอื่น ๆ โดยการใช้ column chromatography แสดงได้ในรูปที่ 2 จากสารละลายสกัดหยาบเมื่อผ่าน Q-Sepharose column จะได้ 2 peak โดย peak 1 คือโปรตีนต่าง ๆ ที่ไม่เกาะติดกับ Q-Sepharose และตรวจพบ GST activity น้อยกว่า 10% เนื่องจากมีส่วนประกอบของ

โปรตีนอื่นปนเปื้อนมากมายจึงมิได้นำมาศึกษาต่อ peak 2 คือโปรตีนต่าง ๆ รวมทั้ง GST ที่เกะติดกับ Q-Sepharose ประกอบด้วย GST ทั้งหมดมากกว่า 90% และพบว่าผ่านการสกัดให้บริสุทธิ์ขึ้น 5.4 เท่า เมื่อนำ peak 2 มาแยกผ่าน Shexylglutathione column พบร่วม GST แยกออกเป็น 2 peak โดย peak 3 มี GST ประมาณ 20% peak 4 มีประมาณ 80% ผลการแยก peak 3 และ peak 4 โดยอาศัย hydroxylapatite column ได้ GST-5 GST-6 GST-4a GST-4b และ GST-4c ตามลำดับ ในการทดลองได้นำ GST 5 ทั้งชนิด มาทำการแยกสกัดต่อโดยอาศัย Phenyl Sepharose column พบร่วม GST-5 GST-6 และ GST-4a ถูกทำให้บริสุทธิ์เพิ่มขึ้นโดยมีค่าความบริสุทธิ์ 73.0 6.1 และ 462.6 ตามลำดับ ส่วน GST-4b ไม่สามารถเกาะกับ Phenyl Sepharose ใน column ได้ จึงไม่สามารถทำให้บริสุทธิ์ด้วยวิธีนี้ได้ GST-4c แตกต่างจาก GST ชนิดอื่น ๆ คือ มีความบริสุทธิ์ตั้งแต่ผ่าน hydroxylapatite column ตารางค่าความบริสุทธิตามขั้นตอนต่าง ๆ แสดงไว้ในตารางที่ 2

โปรตีน GST ชนิดต่าง ๆ ภายหลังแยกให้บริสุทธิ์ นำมารวบรวมสอบความบริสุทธิ์โดยการทำ SDS-PAGE รูปที่ 3 แสดงให้เห็นความบริสุทธิ์ของ GST-4a และ GST-4c ในขณะที่ GST-4b GST-5 และ GST-6 ยังคงมีโปรตีนชนิดอื่น ๆ ปนอยู่ แทนโปรตีนที่เป็น GST-4a และ GST-4c มีขนาดโมเลกุลเมื่อเทียบกับ standard molecular weight marker ได้ ประมาณ 23 kD แทนโปรตีนของ GST-4b มีแทนเข้มที่สุดอยู่บริเวณ 23 kD เช่นกัน ส่วน GST-5 และ GST-6 ไม่แน่ใจว่าแทนโปรตีนของ GST อยู่บริเวณไหน เท่าที่มีรายงานการศึกษา GST ในแมลงชนิดต่าง ๆ GST จะมีขนาดโมเลกุลของหน่วยย่อยอยู่ระหว่าง 16-35 kD

#### 4.2 การศึกษาคุณสมบัติ DDT-dehydrochlorinase

ค่า DDT -dehydrochlorinase activity ของ GST แต่ละชนิดที่แยกได้ แสดงไว้ในตารางที่ 3 เอ็นไซม์ทุกชนิดยกเว้น GST-5 ต่างสามารถเร่งปฏิกิริยา DDT-dehydrochlorination ได้ในระดับแตกต่างกัน ค่ารวมของ DDT -dehydrochlorination พbmagaที่สุดใน GST-6 รองลงมาได้แก่ GST-4c GST-4a และ GST-4b ตามลำดับ อย่างไรก็ตามค่า specific activity ติดต่อห่วง mg โปรตีน สูงสุดคือ GST-4c GST -6 ซึ่งมีโปรตีนอื่นเจือปนอยู่มากกว่า GST อื่น ๆ มีค่า specific activity สูงสุดเป็นที่ 2 ผลการศึกษานี้อาจจะแสดงให้เห็นว่า หากสามารถแยก GST-6 จนบริสุทธิ์ได้ อาจจะเป็น GST ที่มีค่า specific activity สูงที่สุด

#### 4.3 การศึกษาค่า specific activity ต่อสปสະเตrhoชนิดอื่น ๆ

สปสະเตrhoที่ใช้ในการศึกษามี 9 ชนิด ดังแสดงไว้ในตารางที่ 1 ผลการทดลองพบว่า ทั้งหมดนี้มีเพียง 2 ชนิดที่ GST ที่สกัดได้จากยุงกั้นปล่อง An.dirus B สามารถใช้เป็นสปสະเตrhoได้ คือ CDNB และ DCNB โดยที่ CDNB เป็นสปสະเตrhoที่ดีที่สุดซึ่งเอ็นไซม์ทุกตัวใช้ได้ส่วน DCNB นั้นมี

เพียง GST-4a และ GST-6 ที่ใช้ได้โดยมีค่า specific activity 0.60+ 0.02 และ 0.88+0.04 nmole/mg/mg ตามลำดับ

#### 4.4 คุณสมบัติทางเคมีศาสตร์

คุณสมบัติทางเคมีศาสตร์ที่ศึกษาเป็นแบบ Michaelis-Menten steady state kinetic ตัวกลาง (parameter) ที่สนใจคือค่า  $K_m$  และ  $V$  โดยทำการศึกษาใน GST-4b และ GST-4c ผลการศึกษาแสดงไว้ในตารางที่ 4 ค่า  $K_m$  แสดงถึงความชอบ (affinity) ต่อสีปะสีเทราที่เห็นได้ว่า GST-4a คล้าย ๆ กับ GST-4b ในขณะที่ GST-4c นั้นต่างออกไป ค่า  $K_{cat}$  ของ GST-4b คำนวนไม่ได้เนื่องจากเอ็นไซม์ไม่บริสุทธิ์เพียงพอ เมื่อเปรียบเทียบ GST-4a กับ GST-4c ซึ่งต่างได้รับการสกัดจนบริสุทธิ์แล้ว จะเห็นว่า GST-4a มีค่า  $V$  สูงกว่า GST-4c 7.5 เท่า อีกทั้งประสิทธิภาพในการเร่งปฏิกิริยา glutathione conjugation ต่อ CDBN ( $K_{cat}$ ) มากกว่าด้วย ค่า  $K_{cat}/K_m$  แสดงให้เห็นถึงประสิทธิภาพในการเร่งปฏิกิริยาการใช้สีปะสีเทราตัวนั้น ๆ เช่น แม้ว่า GST-4a จะมี affinity ในการขับกับ GSH และ CDBN ได้น้อยกว่า GST-4c แต่มีจับแล้วกลับเร็วให้ปฏิกิริยาดำเนินไปได้ตีกวา ดังแสดงได้จากค่า  $K_{cat}/K_m$  ที่มากกว่าถึง 3-4 เท่า

#### 4.5 คุณสมบัติการถูกยับยั้งโดยสารยับยั้งชนิดต่าง ๆ

ศึกษาโดยการหาเบอร์เซนต์การถูกยับยั้ง ตัวเลขผลการทดลองแสดงไว้ในตารางที่ 5 เปอร์เซนต์การยับยั้งสูง ๆ แสดงว่าสารตัวนั้นสามารถมีปฏิกิริยากับ GST นั้น ๆ ได้มาก เช่นอาจมีการเกาะติด (binding) แม้ว่าจะไม่สามารถเกิดปฏิกิริยา glutathione conjugation ได้ก็ตาม เช่น Bromosulfophthalein และ ethacrynic acid

#### 4.6 การศึกษาค่า $I_{50}$

กราฟแสดงการ plot fractional activity กับ  $\log [I]$  แสดงดังในรูปที่ 4 ค่า  $I_{50}$  ที่คำนวนได้จากการมีค่า  $0.002 \pm 0.001$   $0.001 \pm 0.001$  และ  $1.58 \pm 0.50$   $\mu\text{M}$  สำหรับ Cibacron blue 3GA Bromosulfophthalein และ Ethacylic acid ตามลำดับ ค่าต่าง ๆ เหล่านี้ต่างจากค่าของ GST-4a  $10 - 10^2$  เท่า ค่า slope สูงสุดตรงๆ  $I = I_{50}$  เท่ากับ  $-0.58$  แสดงว่าความสมดุลย์ระหว่างหน่วยย่อยทั้งสองของ GST-4c หรือนัยหนึ่งหมายถึง GST-4c ประกอบด้วย 2 หน่วยย่อยที่มีคุณสมบัติเหมือนกัน

#### 4.7 การศึกษาคุณสมบัติการมีปฏิกิริยาเคมีกับสารฟ้าแมลงชนิดต่าง ๆ

เนื่องจากการศึกษาคุณสมบัติการเร่งปฏิกิริยา glutathione conjugation กับสารฟ้าแมลงผึ้น เราไม่สามารถติดตามวัดการคำนวณปฏิกิริยาไปได้โดยตรง จึงทำการศึกษาโดยการจัด % ความสามารถยับยั้ง GST activity ผลการทดลองแสดงไว้ในตารางที่ 6 จากผลการทดลองนี้จะเห็นได้ว่า GST -6 ซึ่งมีความสามารถเร่งปฏิกิริยา DDT-dehydrochlorination ได้ดีเป็นอันดับ 2 รองจาก GST-4c กลับไม่มีปฏิกิริยาใด ๆ ต่อสารฟ้าแมลงไม่ว่าชนิดไหน ๆ ที่ทดลองแม้แต่กับ DDT ผลการทดลองนี้อาจจะแสดงให้เห็นได้ว่า แม้ว่า GST-6 จะมีความสามารถในการเร่ง glutathione conjugation กับ CDNB ได้ไม่ดีเท่า GST ตัวอื่น ๆ แต่ความสามารถในการจับกับสารเคมีฟ้าแมลงก็ยังน้อยลงไปอีก จากการที่ GST-6 สามารถเร่งปฏิกิริยา DDT-dehydrochlorination ให้ดีแสดงให้เห็นว่า GST-6 มีความสามารถชั้นต่ำ กับ CDNB ได้มากและดีกว่าการจับกับ DDT

GST-5 ในทางตรงกันข้าม แม้จะตรวจไม่พบค่า DDT-dehydrochlorinase activity แต่ DDT ก็ยังสามารถยับยั้ง GST activity ได้เล็กน้อย เช่นเชิญห้อง GST-4a, GST-4b และ GST-4c ถูกยับยั้งได้มากที่สุดโดยสารฟ้าแมลงเกือบทุกชนิดที่ทดสอบยกเว้น  $\gamma$ -HCH Diazeneon และ Bendiocarb

### 6. สรุปและวิจารณ์ผลการทดลอง

จากการศึกษาครั้งนี้ ได้ทำการแยกสกัด GST ชนิดต่าง ๆ จากยุงกันปล่อง *An.dirus B* แม้ว่าก่อนหน้านี้การศึกษาและแยกสกัด GST ได้เคยทำได้ในยุงชนิด *An.gambiae* (13) แต่เนื่องจากยังไม่ประสบผลสำเร็จและไม่ได้ GST ที่บริสุทธิ์ของมาศึกษาคุณสมบัติ การศึกษาในครั้งนี้พบว่า จำนวนชนิดของ GST ใน *An.dirus B* มีอยู่ 5 ชนิด น้อยกว่าของ *An. gambiae* ซึ่งมีอยู่ถึง 7 ชนิด เปรียบเทียบจากการใช้วิธีการเดียวกันในการแยกสกัด และจำนวนโปรตีนที่ปนเปื้อนใน *An.dirus B* มีน้อยกว่า จึงทำให้สามารถแยกสกัดให้บริสุทธิ์ได้ GST-4a ได้มีการสกัดและศึกษามาก่อนหน้านี้แล้ว (Prapanthadara et al. 1996) ในครั้งนี้เราสามารถแยกสกัด GST-4c ให้บริสุทธิ์ได้เช่นเดียวกับ GST-4a

ในรายงานที่ตีพิมพ์ไปก่อนนั้น (13) ยังไม่ทราบว่า GST -4c ปนอยู่ในส่วนของ GST -4b ที่รายงานออกไป แต่การศึกษาครั้งนี้เมื่อมีการปรับปรุงชนิดของบัฟเฟอร์ที่ใช้ elute ใน hydroxylapatite column พบว่า GST-4b แต่เดิม ในครั้งนี้ถูกแยกออกเป็น GST-4b และ GST-4c โดยที่คุณสมบัติในการเร่งปฏิกิริยาของ GST ทั้งสองนี้แตกต่างกัน GST-4c ที่แยกสกัดได้คิดเป็น 1.2 % ของ CDNB conjugating activity ทั้งหมดใน *An.dirus* และคิดเป็น DDT-dehydrochlorinase activity 17.7% ซึ่งนับเป็นอันดับ 2 รองจาก GST-6 (81.4%) เนื่องจาก

GST-4c นี้มีความบริสุทธิ์ดังแสดงได้จาก SDS-PAGE (รูปที่ 3) จึงเป็นโอกาสต่อในการจะนำมาศึกษาต่อไปถึงโครงสร้างต่าง ๆ ที่เกี่ยวข้องกับ DDT-dehydrochlorinase activity

การมีส่วนสำคัญของ GST ต่อการดื้อต่อสารเคมีฆ่าแมลงที่ออกเหนือจาก DDT ได้มีผู้ศึกษาและตีพิมพ์ไว้ เช่น ในแมลงวัน (4) หน้าที่ของ GST คือเป็นกลไกลำดับที่ 2 ในกระบวนการย่อยสลายสารพิษ เช่น oxon ซึ่งเป็น analog ของ fenitrothion ในยุงกั้นปล่องชนิด *An.subpictus* (15) ในการศึกษาที่เคยตีพิมพ์เมื่อไม่นานมานี้ GST class I ที่สังเคราะห์โดยอาศัยวิธี recombinant จากทั้งยุงกั้นปล่อง *An.dirus* และ *An.gambiae* สามารถมีปฏิกิริยาได้เป็นอย่างดีกับสารเคมีฆ่าแมลงหลาย ๆ กลุ่มคือกลุ่มออร์กานิฟอสฟอรัส กลุ่มไฟว์ทรอยด์ และกลุ่มออร์กานอลอวิน (11) ในการศึกษาจากເืนໄช์มที่แยกได้จากตัวลูกน้ำยุงต่าง ๆ ก็ให้ผลการทดลองยืนยันการมีปฏิกิริยาระหว่างสารเคมีฆ่าแมลงเหล่านี้กับ GST จากยุง

GST ชนิดต่าง ๆ ที่แยกได้จาก *An.dirus* จัดได้ว่าเป็นชนิดที่สอดคล้อง (corespondence) กับ GST ใน *An.gambiae* จึงได้มีการตั้งชื่อคล้ายคลึงกัน อย่างไรก็ตามคุณสมบัติปลีกย่อยของເืนໄช์มจากยุงทั้ง 2 species ก็ยังมีความต่างกันอยู่มาก เช่น GST-5 จาก *An.dirus* มีความเป็น hydrophobicity มากกว่า GST-5a จาก *An.gambiae* ส่วน GST-6 จาก *An.dirus* ถูก elute จาก Phenyl Sepharose column ด้วยสภาวะบัฟเฟอร์เดียวกับ GST-6b ใน *An.gambiae*

แม้ว่าค่ารวมของ DDT-dehydrochlorinase activity ของ *An.gambiae* กับ *An. dirus* จะใกล้เคียงกัน แต่การกระจายของ DDT-dehydrochlorinase ใน GST แต่ละชนิดต่างกันไป DDT-dehydrochlorinase ใน *An.gambiae* ส่วนใหญ่จะพบใน GST-5a แต่ใน *An.dirus* จะพบใน GST-4c โดยที่ GST-5 ไม่มี DDT-dehydrochlorinase activity เลย จากผลการศึกษาทางชีวเคมีใน GST จากยุงโดยตรง อาจสามารถแบ่ง GST ชนิดต่าง ๆ ออกได้เป็น 2 class class I คือกลุ่มที่สามารถเกาะติดกับ S-hexylglutathione column ได้แก่ GST-4a GST-4b และ GST-4c GST ทั้งหมดในกลุ่มนี้มีความจำเพาะต่อ CDNB conjugation ในระดับสูง แต่มี DDT ase activity ต่ำ clan II คือกลุ่มที่ไม่เกาะติดกับ S-hexylglutathione column ได้แก่ GST-5 และ GST-6 ในแมลงวันและแมลงหวีกได้มีการแบ่ง GST ออกเป็น 2 class (Fournier et al. 1992) จากการศึกษาโครงสร้างพื้นฐานทางด้านลำดับกรดอะมิโนคลิกและเบรียบเทียบกับพบที่ GST class I ของทั้งยุงกั้นปล่อง แมลงวันและแมลงหวีเป็น class เดียวกัน อย่างไรก็ตาม GST-4a ใน *An.dirus* มี N-terminal ต่างจากลำดับกรดอะมิโนคลิกใน GST อื่น ๆ ใน class I ด้วยเหตุนี้อาจจะยังไม่เป็นที่แน่ใจว่า มี GST class เล็ก ๆ อื่น ๆ อีกใน class I

ในการศึกษาบางแห่ง ได้รายงานว่า GST ในแมลงวันอยู่ใน clan Theta (16, 17) อย่างไรก็ตามเมื่อเปรียบเทียบลำดับกรดอะมิโนในพบว่า GST ในแมลงเหมือนกับ GST ใน class Theta เพียง 40% ตามหลักการที่ Mannervik et al. (18) ว่า GST ใด ๆ ใน class เดียวกัน มีลำดับกรดอะมิโนใน

เนื่องจากน้ำที่มี GST ใน class Theta จะไม่ใช้ CDNB เป็นสีปะเทราแต่ใช้ 1,2-epoxy-3-(p-nitrophenoxy) propane และ p-nitrophenethyl bromide (19) แต่ GST ในยุงกันปล่องใช้ CDNB เป็นสีปะเทรา จึงสรุปได้ว่าการจัดแบ่ง class ของ GST ควรจะแตกต่างจาก GST ในคน

### เอกสารอ้างอิง

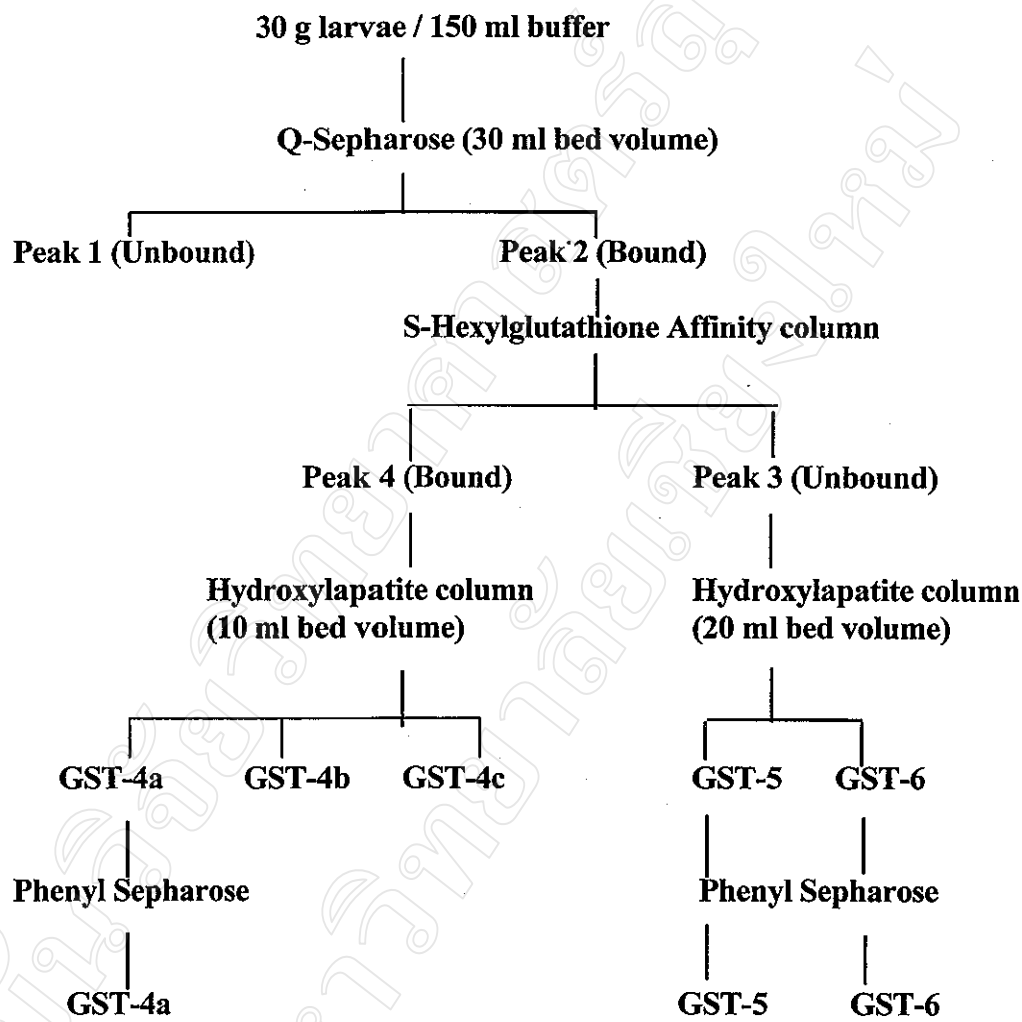
1. Mannervik, B. and Danielson, U.H. Glutathione S-transferases: Structure and catalytic activity, CRC Crit. Rev. Biochem. (1988) 23, 283-337.
2. Motoyama, N. and Dauterman, W.C. Interstrain comparison of glutathione-dependent reaction in susceptible and resistant houseflies. Pestic. Biochem. Physiol., 1975, 5, 480-495.
3. Clark, A.G. and Dauterman, W.C. The characterization by affinity chromatography of glutathione S-transferases from different strains of house fly. Pestic. Biochem. Physiol., 1982, 17, 307-314.
4. Clark, A.G., Shamaan, N.A., Sinclair, M.D. and Dauterman, W.C., Insecticide metabolism by multiple glutathione S-transferase in two strains of the housefly, *Musca domestica* (L), Pestic. Biochem. Physiol., 1986, 25, 169-175.
5. Hassall, K.A. , The biochemistry and uses of pesticides : Structure, metabolism, mode of reaction and uses in crop protection (Hassall, K.A. Ed.), MacMillan, London, 1990.
6. Brown, A.W.A., Insecticide resistance in mosquitoes : A pragmatic review, J. Am. Mosq. Control Assoc., 1986, 2, 123-140.
7. Herath, P.R.J., Jayawardena, K.G.I., Hemingway, J. and Harris, J., DDT-resistance in *Anopheles culicifacies* giles and *An. Subpictus grassi* (Diptera: culicidae) from Sri Lanka : a field studies on the mechanisms and changes in gene frequency after cessation of DDT spraying, Bull. Ent. Res., 1988, 78, 717-723.
8. Lamoureux, G.L. and Rusness, D.G., The role of glutathione and glutathione S-transferases in pesticide metabolism selectivity and mode of action in plants and insects. In Glutathione : Biochemical and Medical aspects (D.Dolphin, O. Avramovic and R. Poulson Eds.), pp. 153-196, A Wiley-Intersciences Publication John Wiley & Son. New York, Cholchester, Brisbane, Toronto, Singapore, 1989.

9. Hayed, J.D. and Wolf C.R., Role of glutathion Transferases in drug resistance. In Glutathione conjugation : Mechanism and biological significance (Helmet Sies and Brian Ketterer Eds.) pp. 315-355, Academic Press Ltd. London, 1988.
10. Prapanthadara, L., Heminway, J. and Ketterman, A.J., Partial purification and characterization of glutathione S-transferases involve in DDT-resistance from the mosquito *Anopheles gambiae*. Pestic. Biochem. Physiol. 1993, 47, 119-133.
11. Prapanthadara, L., Ranson, H. Somboon, P. and Hemingway, J. Cloning, expression and characterization of a class I insect glutathione S-transferase from the mosquito *An. dirus*. Insect Biochem. Mol. Biol., 1998, 28: 321-329.
12. Habig, W. H., Pabst, M.J. and Jakoby, W.B., Glutathione S-transferases. The first enzymatic step in mercapturic acid formation, J. Biol. Chem. 1974, 249 : 7130-7139.
13. Prapanthadara, L., Koottathee, S., Promtet, N., Hemingway, J. and Ketterman, A. J. (1996) Characterization of the major form of glutathione S-transferase in the mosquito *An. dirus*. Insect Biochem. Molec. Biol. 1999, 26: 277-285.
14. Dixon, M. and Webb, E.C., Enzymes (Dixon, M. and Webb, E.C. Eds.) Academic Press, New York, 1979.
15. Hemingway, J., Miyamoto, J. and Herath, P.R.J., A possible novel link between organophosphorus and DDT insecticide resistance gene in *Anopheles* : Supporting evidence from fenitrothion metabolism studies. Pestic. Biochem. Physiol. 1991, 39 : 49-56.
16. Wilce, M.C.J., Board, P.G., Feil, S.C., Parker, M.W., Crystal structure of a theta-class glutathione transferase. EMBO J., 1995, 14, 2133-2143.
17. Pemble, S.E., Taylor, J.B., 1992. An evolutionary perspective on glutathione transferases inferred from class-Theta glutathione transferase cDNA sequences. Biochem. J. 287, 957-963.
18. Mannervik, B., Awasthi, Y.C., Board, P.G., Hayes, J.D., Di Ilio, C., Ketterer, B., Listowsky, I., Morgenstern, R., Muramatsu, M., Pearson, W.R., Pickett, C.B., Sato, K., Widersten, M., Wolf, C.R., Nomenclature for human glutathione transferases. Biochem. J., 1992, 282, 305-306.

19. Meyer, D.J., Coles, B., Pemble, S.E., Gilmore, K.S., Fraser, G.M., Ketterer, B., Theta, a new class of glutathione transferases purified from rat and man. Biochem. J., 1991, 274, 409-414.

รูปที่ 1

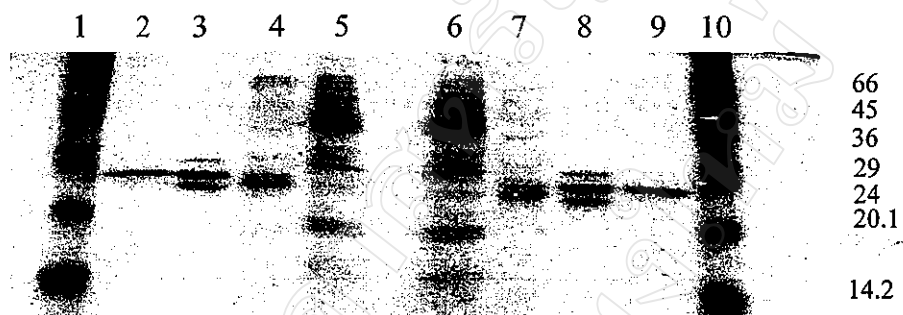
แผนภูมิขั้นตอนการแยกสกัด GST จากลูกน้ำระยะเวลาที่ 4 ของไขุงกันปล่อง *An.dirus B*



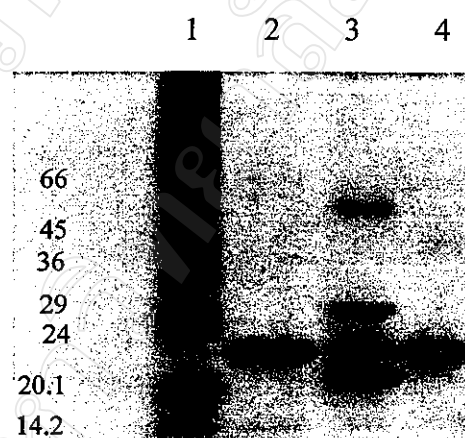
รูปที่ 2

กราฟแสดงการแยก GST ให้บริสุทธิ์จากลูกลั่น้ำระยะที่ 4 ของยุงกันปล่อง An.dirus B

- A). Sepharose column เมื่อนำสารละลายสกัดหยานจากลูกลั่น้ำระยะที่ 4 มาผ่าน column เก็บส่วนของ peak ที่ 1 ทึ่งไปส่วน peak ที่ 2 เก็บ fraction ละ 4 ml นำมาวัดค่าความเข้มข้นโปรตีน และ GST activity
- B) Hydroxylapatite column เมื่อนำ peak 3 จาก affinity column มาแยกด้วย hydroxylapatite column เก็บส่วนที่ไม่เกาะติดใน column ทึ่งไป elute GST ที่เกาะใน column ด้วยบัฟเฟอร์ดังกล่าวไว้ในวิธีการทดลอง เก็บ fraction ละ 1 ml นำมาวัดค่าความเข้มข้นโปรตีนและ GST activity GST ที่แยกได้ คือ GST-5 และ GST-6
- C) และ D) Phenyl Sepharose column แสดงการแยกสกัด GST-5 และ GST -6 ออกมาจากโปรตีนอื่น ๆ เมื่อ elute ด้วยบัฟเฟอร์ต่าง ๆ ดังกล่าวได้ในวิธีการทดลอง
- E) Hydroxylapatite column แสดงการแยกสกัด GST-4a GST-4b และ GST-4c จาก peak 4 โดยการ elute ด้วยบัฟเฟอร์ต่าง ๆ ดังกล่าวในวิธีการทดลอง
- F) Phenyl Sepharose column แสดงการแยกสกัด GST-4a ให้บริสุทธิ์ดังกล่าวไว้ในวิธีการทดลอง



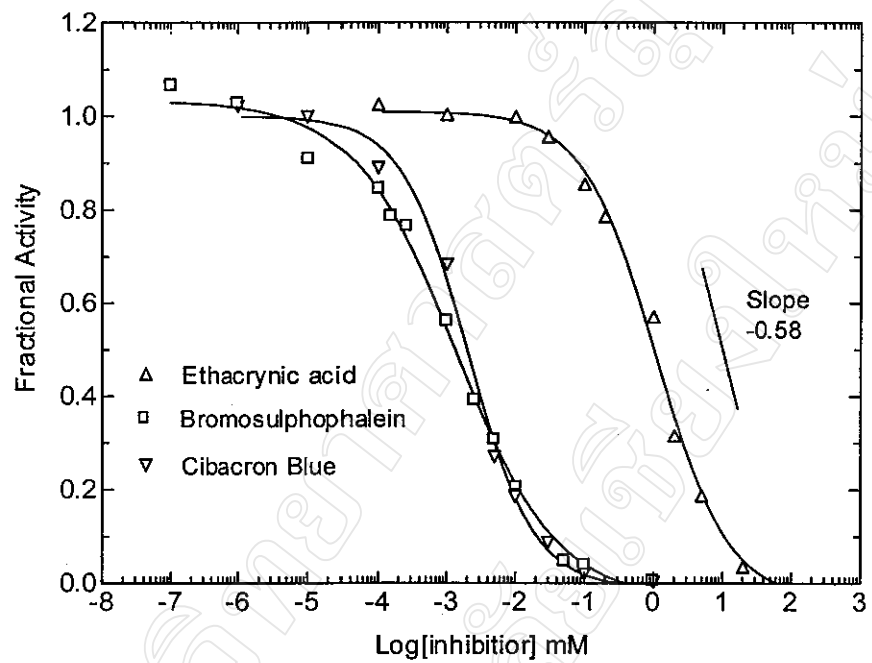
A



B

รูปที่ 3 SDS-PAGE ของ GST ชนิดต่าง ๆ ที่สกัดได้

A) Lane 1 และ 10 คือ standard molecular weight marker ; Lane 2 และ 9 = 1 ug GST -4a ; Lane 3 และ 8 = 2 ug ของ GST-4b และ GST-4c ที่ยังไม่ได้แยกออกจากกัน ; Lane 4 และ 7 = 2 ug GST-5 ; Lane 5 และ 6 = 10 ug GST-6



รูปที่ 4

IC50 plot ของการยับยั้ง activity ของ GST-4c โดยตัวยับยั้ง 3 ชนิด คือ ethacrylic acid, Bromosulphophthalein และ Cibacron Blue 3 GA

ตารางที่ 1  
**สภาวะที่ใช้ในการตรวจวัด activity ต่อสีปัสสาวะชนิดต่าง ๆ**

Substrate	[substrate] mM	pH	$\lambda_{\max}$ Nm	$\Delta\epsilon$ $\text{mM}^{-1} \text{cm}^{-1}$
1,2-Dichloro-4-nitrobenzene	1.0	7.5	345	8.5
4-Nitropyridine-N-oxide	0.2	7.0	295	7.0
p-Nitrophenethyl bromide	0.1	6.5	310	1.2
1,2-Epoxy-3-(p-nitrophenoxy)propane	1.0	6.5	360	0.5
Bromosulfophthalein	0.03	7.5	330	4.5
trans—4-phenyl-3-buten-2-one	0.05	6.5	290	-24.8
Ethacrynic	0.2	6.5	270	5.0

ตารางที่ 2

สรุปการแยกสกัดเอ็นไซม์กลูต้าไธโอนे�อส-ทรานส์เพอร์เจสจากกลูน้ำมูกันปล่อง *Anopheles dirus B*

Fractions	Protein (mg)	GST activity ( $\mu\text{mol}/\text{min}$ )	Specific activity ( $\mu\text{mol}/\text{min}/\text{mg}$ )	% Yield	fold
Crude supernatant	958.72	308.99	0.322	100	1
Q-Sepharose column					
Peak I	353.80	12.88	0.036	4.2	-
Peak II	97.55	168.67	1.73	54.6	5.37
S-hexylglutathione column					
Peak III	95.55	18.83	0.20	6.10	-
Peak IV	1.24	57.78	46.74	18.7	145.2
Hydroxylapatite column					
GST-4a	ND	60.41	ND	19.6	ND
GST-4b	0.033	4.08	85.86	1.3	266.6
GST-4c	0.167	3.62	21.62	1.2	67.1
GST-5	9.80	4.90	0.50	1.55	1.55
GST-6	11.66	7.20	0.62	2.3	1.92
Phenyl Sepharose column					
GST-4a	0.302	55.13	149.08	17.8	462.6
GST-5	0.089	2.10	23.51	0.7	73.0
GST-6	1.74	3.41	1.96	1.1	6.1

ตารางที่ 3

สรุปค่า DDT-dehydrochlorinase activity ของเย็นไชม์กูลตาไอกิโอน เอส-ทรานสเฟอเรสจากลูกน้ำขุ่นกันปล่อง *Anopheles dirus B*

Isoenzymes	nmol / unit GST	nmol/mg protein	nmol/g larvae	GST / g larvae ( $\mu$ mol/min)
GST 4a	0.11 ± 0.02	15.80	0.27	2.52
GST 4b	1.06 ± 0.74	90.93	0.18	0.17
GST 4c	60.53 ± 14.55	1,308.74	9.08	0.15
GST 5	< 0.03	< 0.71	< 0.01	0.20
GST 6	139.20 ± 48.37	272.83	41.76	0.30

ค่าต่างๆที่แสดงໄວ่เป็นค่าเฉลี่ย (means) ได้จากการทดลองอย่างน้อย 4 ครั้ง หน่วยของ DDTase activity คิดเป็น nmole DDE ที่เกิดขึ้น

ตารางที่ 4

ผลการศึกษาค่าคงที่ทางเคมีศาสตร์ของเอ็นไซม์ GST-4a, GST-4b และ GST-4c โดยใช้ GSH และ CDNB เป็นสปัลลเตอร์.

Constant	GST 4a	GST-4b	GST 4c
$V_m$ ( $\mu\text{mole/min/mg}$ )	$179.75 \pm 5.64$	$92.89 \pm 8.56$	$24.38 \pm 1.84$
$K_{m(\text{GSH})}$ (mM)	$0.87 \pm 0.10$	$0.97 \pm 0.51$	$0.30 \pm 0.07$
$K_{m(\text{CDNB})}$ (mM)	$0.21 \pm 0.02$	$0.23 \pm 0.09$	$0.10 \pm 0.01$
$k_{\text{cat}} (\text{s}^{-1})$	149.85	ND	18.69
$k_{\text{cat}}/K_{m(\text{GSH})} (\text{mM}^{-1}\text{s}^{-1})$	172.24	ND	62.30
$k_{\text{cat}}/K_{m(\text{CDNB})} (\text{mM}^{-1}\text{s}^{-1})$	713.57	ND	186.9

\* ตัวเลขขึ้นต้นมาจาก Prapanthadara *et al.*, 1996. ND = ไม่ได้คำนวณ

ตารางที่ 5

ผลรั้งชั่นต์การถูกยับยั้งของ GST CDNB conjugating activity โดยสับสะเตρาชนิดอื่นๆ

Substrates	% inhibition				
	GST4a	GST4b	GST4c	GST5	GST6
4-Nitropyridine <i>N</i> -oxide	7.35	5.74	13.20	25.18	2.17
<i>p</i> -Nitrophenethyl bromide	22.84	18.20	42.11	11.08	0
1,2-Epoxy-3-( <i>p</i> -nitrophenoxy)propane	0	0	12.44	8.99	0
Bromosulfophthalein	95.1	92.00	84.80	93.24	87.02
<i>trans</i> -4-phenyl-3-buten-2-one	0	0	0	10.17	16.34
Ethacrynic acid	99.74	100	100	100	95.02
1,2-Dichloro-4-nitrobenzene	11.48	6.61	32.92	14.31	0

ค่าต่างๆที่แสดงไว้เป็นค่าเฉลี่ย (means) ได้จากการทดลองอย่างน้อย 4 ครั้ง

ตารางที่ 6

ผลการศึกษาเปอร์เซนต์การถูกยับยั้งของ GST CDNB conjugating activity โดยสารฆ่าแมลงชนิดต่างๆ

Insecticides	% inhibition				
	GST 4a	GST 4b	GST 4c	GST 5	GST 6
<u>Organochlorines</u>					
DDT	95.6	70.9	62.1	6.1	0
DDE	89.8	66.8	49.0	38.7	0
Gamma-HCH	0	0	27.3	0	0
<u>Pyrethroids</u>					
Permethrin	100	60.8	62.4	7.7	0
Lambda cyhalothrin	100	76.4	69.1	0	0
Deltamethrin	100	83.3	77.7	20.0	0
<u>Phosphorothioates</u>					
Diazenon	24.7	0	14.9	0	0
Fenitrothion	51.8	47.9	44.9	37.3	0
Pirimiphos-methyl	34.4	25.0	20.4	13.5	0
Chlorpyriphos-ethyl	80.2	46.0	41.7	9.3	0
Temephos	100	76.9	68.2	46.7	0
<u>Carbamate</u>					
Bendiocarb	12.9	0	19.7	2.4	0

ความเข้มข้นของสารฆ่าแมลงที่ใช้ คือ 0.1 mM ยกเว้น diazinon ใช้ขนาด 1.0 mM ค่าต่างๆที่แสดง ไก่เป็นค่าเฉลี่ย (means) ได้จากการทดลองอย่างน้อย 4 ครั้ง